

Monte Karlo simulacije u statističkoj fizici. Metropolisov algoritam primenjen na mnogo putanja.

Petar Mali

Departman za fiziku
Univerzitet u Novom Sadu

Seminar Departmana za fiziku

Novi Sad, 04.11.2016.

Pregled predavanja

1 Uvod

2 Metropolisov rad

3 Naš rad

Multipath Metropolis Simulation: an Application to the Classical Heisenberg Model



Multipath Metropolis Simulation: an Application to the Classical Heisenberg Model

Physica A 441 (2016) 69–80



Contents lists available at ScienceDirect

Physica A

journal homepage: www.elsevier.com/locate/physa



Multipath Metropolis simulation: An application to the classical Heisenberg model



Predrag S. Rakić^a, Slobodan M. Radošević^b, Petar M. Mali^{b,*},
Lazar M. Stričević^a, Tara D. Petrić^a

^a Faculty of Technical Sciences, University of Novi Sad, Trg Dositeja Obradovića 6, 21000 Novi Sad, Serbia

^b Department of Physics, Faculty of Science, University of Novi Sad, Trg Dositeja Obradovića 4, 21000 Novi Sad, Serbia

Motivacija

- MCMC - Markov chain Monte Carlo - nastao u Los Alamosu.

Motivacija

- MCMC - Markov chain Monte Carlo - nastao u Los Alamosu.
- Stan Ulam - pasijans.

Motivacija

- MCMC - Markov chain Monte Carlo - nastao u Los Alamosu.
- Stan Ulam - pasijans.
- -Nojman, Fermi, Metropolis.

Naziv dobio po kazinu u Las Vegasu gde je Ulamov otac ostavio poprilično novca.

Pregled predavanja

- 1 Uvod
- 2 Metropolisov rad**
- 3 Naš rad

Impakt

- Metropolis, Rosenbluth, Teller, Teller, Equation of State Calculations by Fast Computing Machines (1953)

Impakt

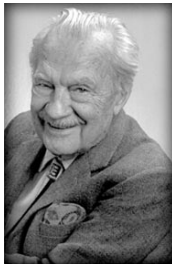
- Metropolis, Rosenbluth, Teller, Teller, Equation of State Calculations by Fast Computing Machines (1953)
- Do danas citiran 32747 puta. Izvor google scholar.

Po prvom autoru rada dobio naziv Metropolisov algoritam.

Impakt

- Metropolis, Rosenbluth, Teller, Teller, Equation of State Calculations by Fast Computing Machines (1953)
- Do danas citiran 32747 puta. Izvor google scholar.

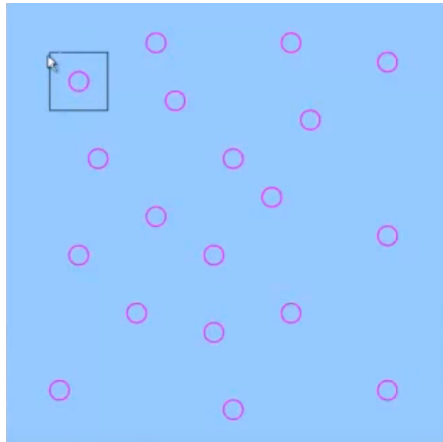
Po prvom autoru rada dobio naziv Metropolisov algoritam.



Multipath Metropolis Simulation: an Application to the Classical Heisenberg Model



Multipath Metropolis Simulation: an Application to the Classical Heisenberg Model



Impakt

- Metropolisov algoritam

Impakt

- Metropolisov algoritam
- 1. Ako je promena energija $\Delta E < 0$ prihvatimo izmenu u konfiguraciji.

Impakt

- Metropolisov algoritam
- 1. Ako je promena energija $\Delta E < 0$ prihvatimo izmenu u konfiguraciji.
- 2. Ako je promena energije $\Delta E > 0$ prihvatimo izmenu sa verovatnoćom $\exp\left(-\frac{\Delta E}{k_B T}\right)$.

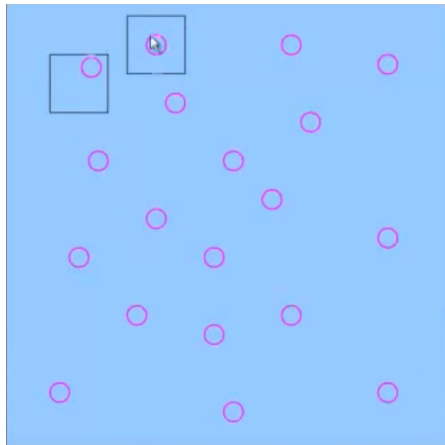
Impakt

- Metropolisov algoritam
- 1. Ako je promena energija $\Delta E < 0$ prihvatimo izmenu u konfiguraciji.
- 2. Ako je promena energije $\Delta E > 0$ prihvatimo izmenu sa verovatnoćom $\exp(-\frac{\Delta E}{k_B T})$.
- Uvodimo slučajan broj ξ između 0 i 1 i ako je $\xi < \exp(-\frac{\Delta E}{k_B T})$ konfiguracija se prihvata (molekul se pomeri unutar kvadrata). Ako ne vraćamo molekul u prvobitan položaj.

Multipath Metropolis Simulation: an Application to the Classical Heisenberg Model



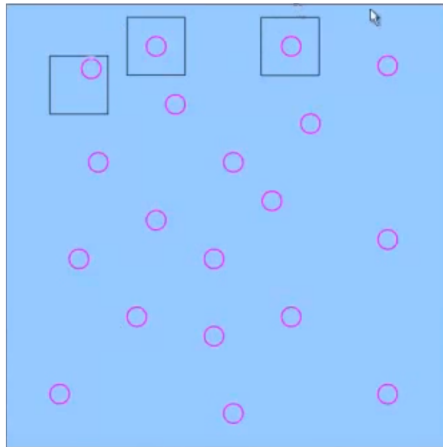
Multipath Metropolis Simulation: an Application to the Classical Heisenberg Model



Multipath Metropolis Simulation: an Application to the Classical Heisenberg Model



Multipath Metropolis Simulation: an Application to the Classical Heisenberg Model



Pol Štern i Nikolas Metropolis igraju šah protiv Maniac-a

- Maniac

Pol Štern i Nikolas Metropolis igraju šah protiv Maniac-a

- Maniac
-

Pol Štern i Nikolas Metropolis igraju šah protiv Maniac-a

- Maniac
-



Markovljevi lanci

- Markovljevi lanci

Markovljevi lanci

- Markovljevi lanci
-

Markovljevi lanci

- Markovljevi lanci
-



-

Markovljevi lanci

- Markovljevi lanci



- $p(x_5 | x_4, x_3, x_3, x_1) = p(x_5 | x_4)$

Gospodin Tompkins

- Usnijmo fiziku

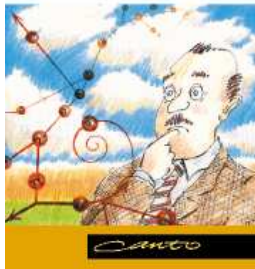
Gospodin Tompkins

- Usnijmo fiziku
- Avanture gospodina Tompkinsa.

Gospodin Tompkins

- Usnijmo fiziku
- Avanture gospodina Tompkinsa.

Mr Tompkins
in Paperback
GEORGE GAMOW



Kristali

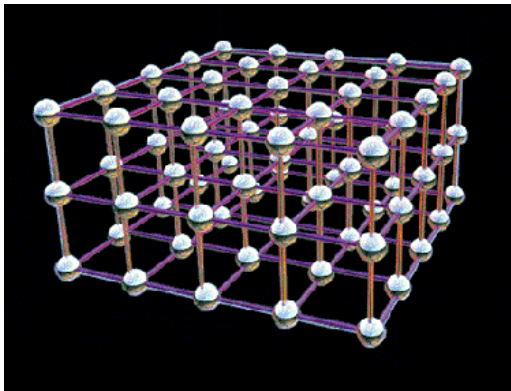
- Kristali

Kristali

- Kristali
- Translatorsna invarijantnost

Kristali

- Kristali
- Translatorska invarijantnost



Markovljevi lanci

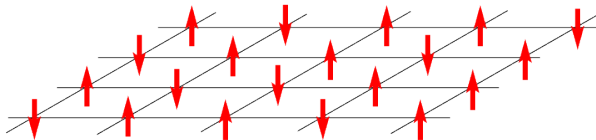
- 2d Izingov model

Markovljevi lanci

- 2d Izingov model
-

Markovljevi lanci

- 2d Izingov model

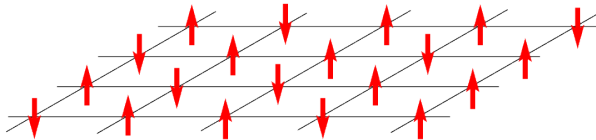


2-D Ising Model



Markovljevi lanci

- 2d Izingov model

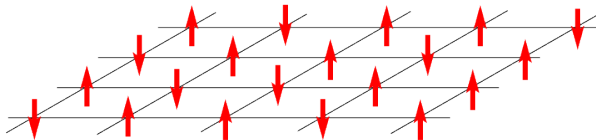


2-D Ising Model

- Hamiltonova funkcija (feromagnet)

Markovljevi lanci

- 2d Izingov model



2-D Ising Model

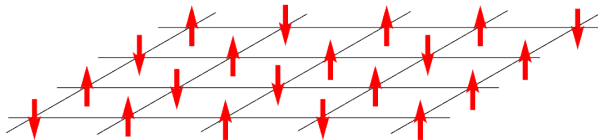
- Hamiltonova funkcija (feromagnet)

- $$H = E = -\frac{J}{2} \sum_{\vec{n}, \vec{\lambda}} S_{\vec{n}} S_{\vec{n}+\vec{\lambda}}$$

Markovljevi lanci

- 2d Izingov model

-



2-D Ising Model

- Hamiltonova funkcija (feromagnet)

- $$H = E = -\frac{J}{2} \sum_{\vec{n}, \vec{\lambda}} S_{\vec{n}} S_{\vec{n}+\vec{\lambda}}$$

- $S_{\vec{n}} = \pm 1$

Markovljevi lanci

- 2 čvora (2 spina)

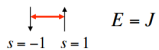
Markovljevi lanci

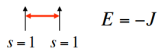
- 2 čvora (2 spina)
-

Markovljevi lanci

- 2 čvora (2 spina)




$$\begin{array}{c} \downarrow \quad \uparrow \\ | \quad | \\ s = -1 \quad s = 1 \end{array} \quad E = J$$


$$\begin{array}{c} \uparrow \quad \uparrow \\ | \quad | \\ s = 1 \quad s = 1 \end{array} \quad E = -J$$



Markovljevi lanci

- 2 čvora (2 spina)



$$\begin{array}{c} \downarrow \quad \uparrow \\ | \quad | \\ s = -1 \quad s = 1 \end{array} \quad E = J$$

$$\begin{array}{c} \uparrow \quad \uparrow \\ | \quad | \\ s = 1 \quad s = 1 \end{array} \quad E = -J$$



- prvi slučaj: $E = -J \cdot 1 \cdot (-1) = J$

Markovljevi lanci

- 2 čvora (2 spina)



$$\begin{array}{c} \downarrow \quad \uparrow \\ | \quad | \\ s = -1 \quad s = 1 \end{array} \quad E = J$$

$$\begin{array}{c} \uparrow \quad \uparrow \\ | \quad | \\ s = 1 \quad s = 1 \end{array} \quad E = -J$$



- prvi slučaj: $E = -J \cdot 1 \cdot (-1) = J$
- drugi slučaj: $E = -J \cdot 1 \cdot 1 = -J$

Markovljevi lanci

- Beskonačna rešetka

Markovljevi lanci

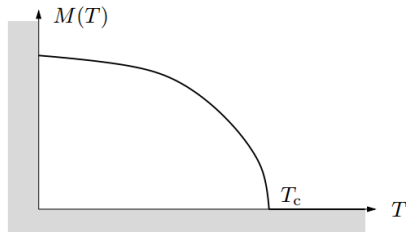
- Beskonačna rešetka
- Krična temperatura za 2d Izing na kvadratnoj rešetki $\frac{k_B T_c}{J} = 2.269$

Markovljevi lanci

- Beskonačna rešetka
- Kritična temperatura za 2d Izing na kvadratnoj rešetki $\frac{k_B T_c}{J} = 2.269$
-

Markovljevi lanci

- Beskonačna rešetka
- Kritična temperatura za 2d Izing na kvadratnoj rešetki $\frac{k_B T_c}{J} = 2.269$
-



Markovljevi lanci

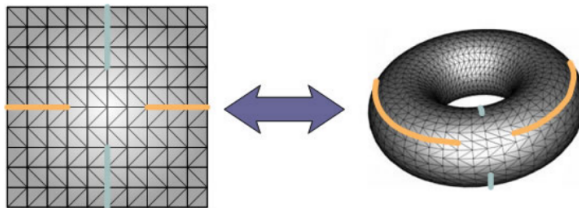
- Ciklični granični uslovi
Slika preuzeta iz master rada Miloša Adamovića

Markovljevi lanci

- Ciklični granični uslovi
Slika preuzeta iz master rada Miloša Adamovića
-

Markovljevi lanci

- Ciklični granični uslovi
Slika preuzeta iz master rada Miloša Adamovića



Impakt

- Monte Karlo srednja vrednost

Impakt

- Monte Karlo srednja vrednost
- $\langle A \rangle = \frac{1}{N} \sum_{i=1}^N A_i$

Impakt

- magnetizacija

$$\langle M \rangle = \frac{1}{N} \sum_{i=1}^N |M_i|$$

Impakt

- magnetizacija

$$\langle M \rangle = \frac{1}{\mathcal{N}} \sum_{i=1}^{\mathcal{N}} |M_i|$$

- srednja energija

$$\langle H \rangle = \frac{1}{\mathcal{N}} \sum_{i=1}^{\mathcal{N}} H_i$$

Impakt

- magnetizacija

$$\langle M \rangle = \frac{1}{\mathcal{N}} \sum_{i=1}^{\mathcal{N}} |M_i|$$

- srednja energija

$$\langle H \rangle = \frac{1}{\mathcal{N}} \sum_{i=1}^{\mathcal{N}} H_i$$

- Binderovi kumulanti

$$U_L = 1 - \frac{1}{3} \frac{\langle M^4 \rangle}{\langle M^2 \rangle^2}$$

Markovljevi lanci

- Magnetizacija

Markovljevi lanci

- Magnetizacija
-

Markovljevi lanci

- Magnetizacija

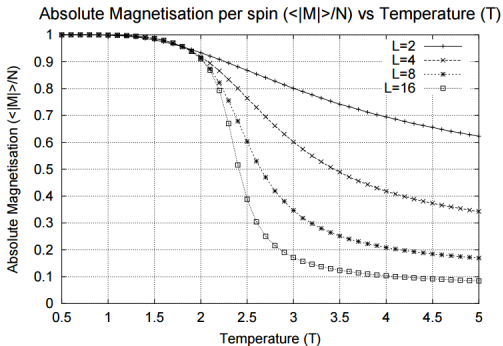


Figure 9: This plot shows the differing results of the Magnetization for varying lattice sizes, $L \times L$.



Markovljevi lanci

- Srednja energija

Markovljevi lanci

- Srednja energija
-

Markovljevi lanci

- Srednja energija

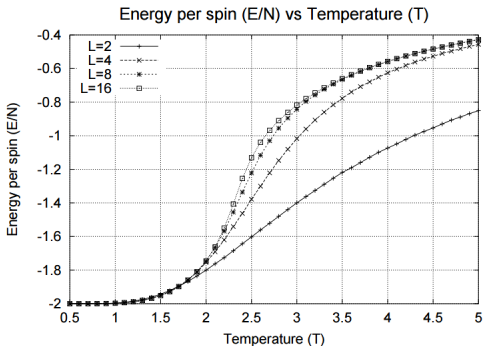


Figure 7: This plot shows the differing results of the Energy for varying lattice sizes, $L \times L$.



Problemi

- 1. zarobljavanje u neki minimum, koji nije globalni za datu temperaturu.

Problemi

- 1. zarobljavanje u neki minimum, koji nije globalni za datu temperaturu.
- 2. korelisani rezultati

Razvoj računarske industrije

Problemi

- 1. zarobljavanje u neki minimum, koji nije globalni za datu temperaturu.
- 2. korelisani rezultati

Razvoj računarske industrije

-

Problemi

- 1. zarobljavanje u neki minimum, koji nije globalni za datu temperaturu.
- 2. korelisani rezultati

Razvoj računarske industrije

-
- 3. paralelizacija procesa

Pregled predavanja

1 Uvod

2 Metropolisov rad

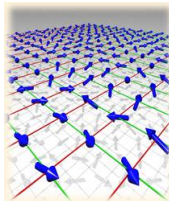
3 Naš rad

Klasični Hajzenbergov model

- Klasični Hajzenbergov model

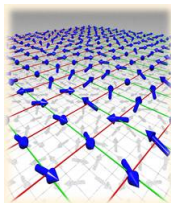
Klasični Hajzenbergov model

- Klasični Hajzenbergov model



Klasični Hajzenbergov model

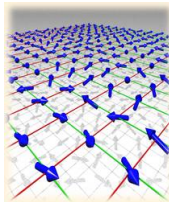
- Klasični Hajzenbergov model



- Kubna rešetka

Klasični Hajzenbergov model

- Klasični Hajzenbergov model



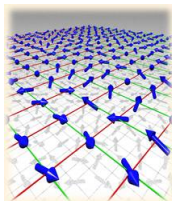
- Kubna rešetka
- Spinovi na čvorovima mogu da imaju proizvoljne orijentacije. Parametrizacija jediničnih vektora koji sede na čvorovima se vrši pomoću dva ugla θ i φ .

Klasični Hajzenbergov model

- Klasični Hajzenbergov model

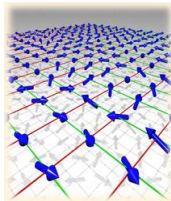
Klasični Hajzenbergov model

- Klasični Hajzenbergov model



Klasični Hajzenbergov model

- Klasični Hajzenbergov model



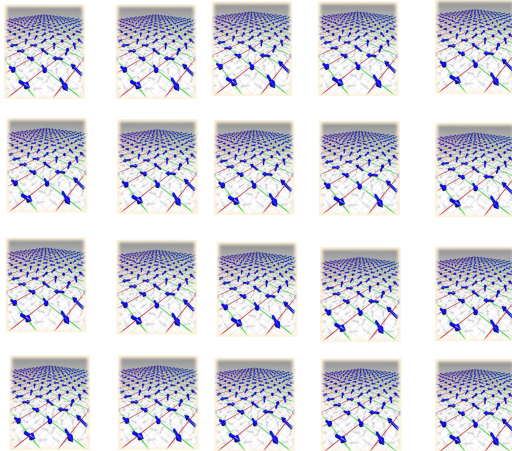
- $$H = -\frac{J}{2} \sum_{\vec{n}, \vec{\lambda}} \vec{S}_{\vec{n}} \cdot \vec{S}_{\vec{n}+\vec{\lambda}}$$

Klasični Hajzenbergov model

- Klasični Hajzenbergov model - Multipath

Klasični Hajzenbergov model

- Klasični Hajzenbergov model - Multipath



Klasični Hajzenbergov model

- CESGA - Centro de Supercomputacion de Galicia

Klasični Hajzenbergov model

- CESGA - Centro de Supercomputación de Galicia



Klasični Hajzenbergov model

- CESGA - Centro de Supercomputación de Galicia



Klasični Hajzenbergov model

- CESGA - Centro de Supercomputacion de Galicia

Klasični Hajzenbergov model

- CESGA - Centro de Supercomputacion de Galicia

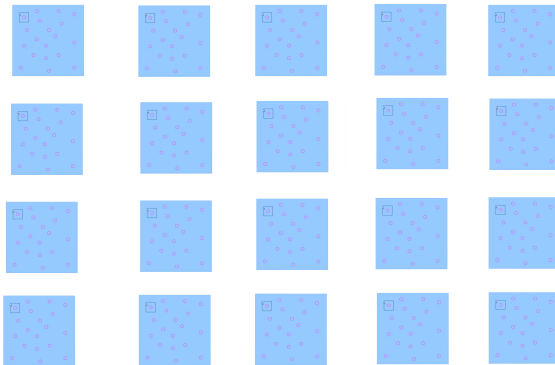


Klasični Hajzenbergov model

- Metropolisov sistem - Multipath

Klasični Hajzenbergov model

- Metropolisov sistem - Multipath

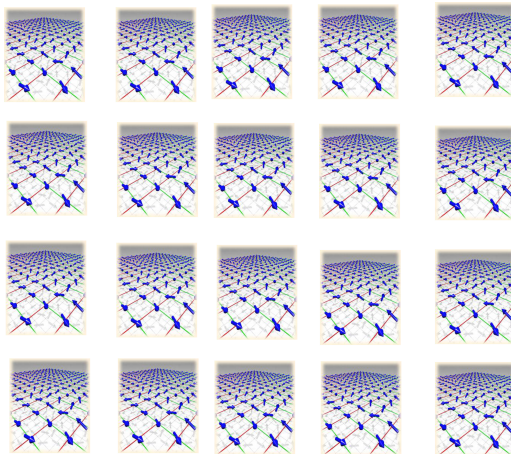


Klasični Hajzenbergov model

- Klasični Hajzenbergov model - Multipath

Klasični Hajzenbergov model

- Klasični Hajzenbergov model - Multipath

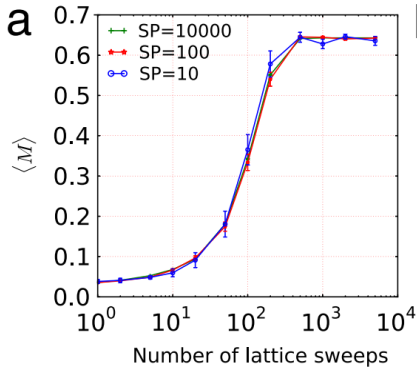


Impakt

- $L = 10, T = 1$

Impakt

- $L = 10, T = 1$

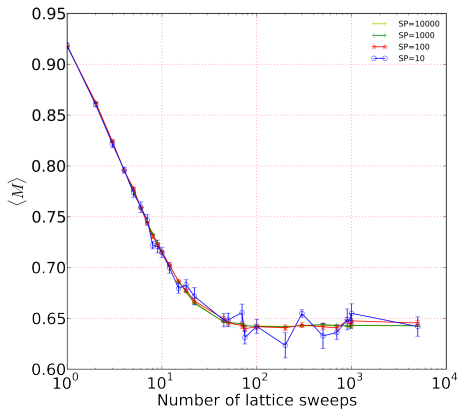


Impakt

- $L = 10, T = 1$

Impakt

- $L = 10, T = 1$

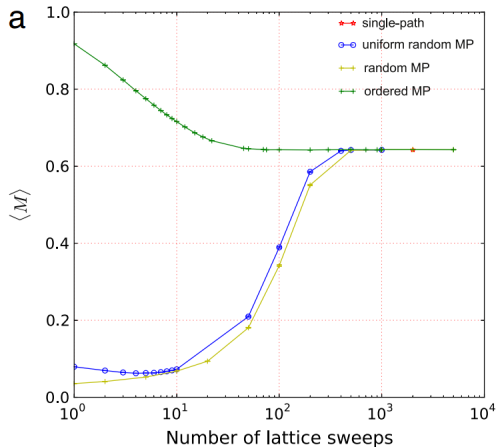


Impakt

- $L = 10, T = 1, \mathcal{N} = 10000$

Impakt

- $L = 10, T = 1, \mathcal{N} = 10000$



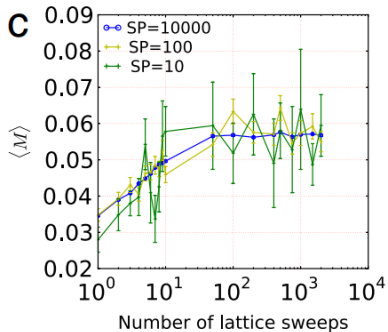
Impakt

- $L = 10, T = 1.5$

Impakt

- $L = 10, T = 1.5$

•

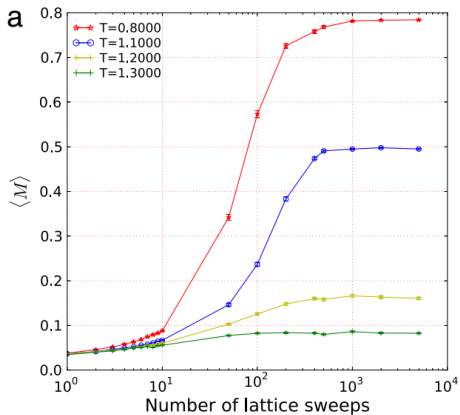


Impakt

- $\mathcal{N} = 1000$

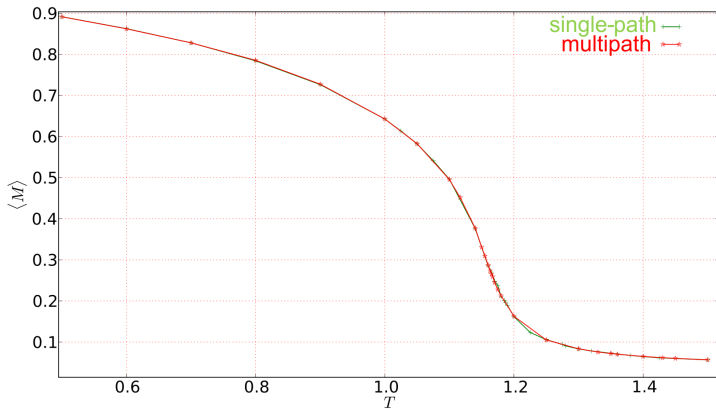
Impakt

- $\mathcal{N} = 1000$



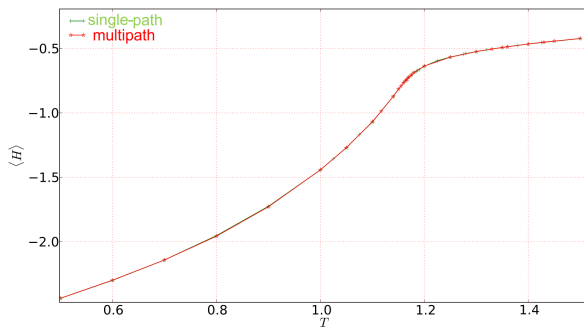
- $L = 10$, Multipath $LS = 10000$, $SP = 10000$, Singlepath
 $THERM = 2 \cdot 10^6$, $SO = 5 \cdot 10^5$

- $L = 10$, Multipath $LS = 10000$, $SP = 10000$, Singlepath
 $THERM = 2 \cdot 10^6$, $SO = 5 \cdot 10^5$



- $L = 10$, Multipath $LS = 10000$, $SP = 10000$, Singlepath
 $THERM = 2 \cdot 10^6$, $SO = 5 \cdot 10^5$

- $L = 10$, Multipath $LS = 10000$, $SP = 10000$, Singlepath
 $THERM = 2 \cdot 10^6$, $SO = 5 \cdot 10^5$

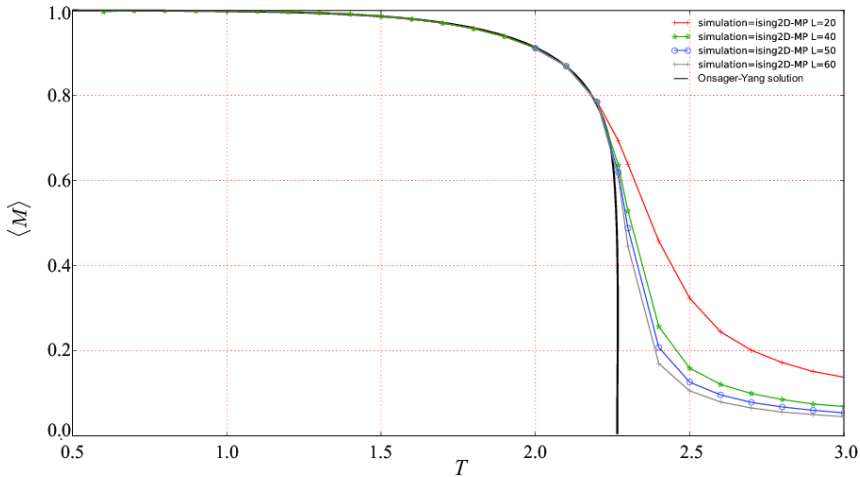


Impakt

- Izing multipath

Impakt

Izing multipath

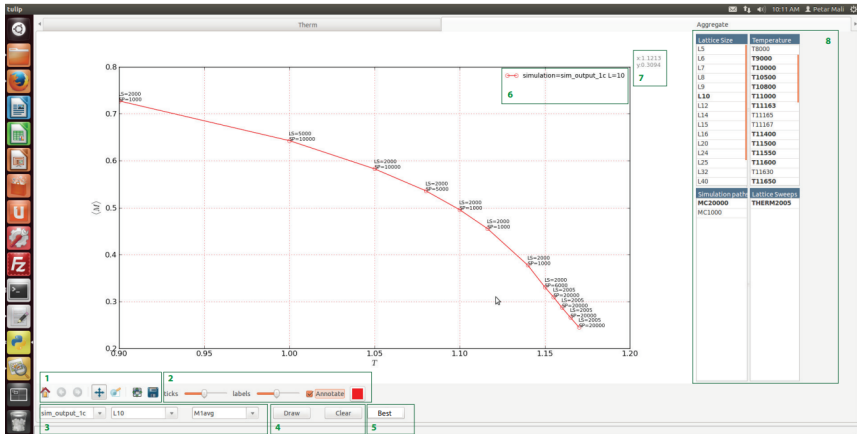


Impakt

- Tarin "Tulipko"

Impakt

Tarin "Tulipko"



- Hvala na pažnji!